

大阪大学工学部

正員 前田幸雄

まえがき 背の高い薄肉プレートガーダーの曲げパネルの強度に対するウェブの初期タクミ、ウェブの細長比、フランジの形状、水平補剛材の有無、ハイブリッド性質の影響を実験的に研究したものです。

1. 曲げ試験の概要

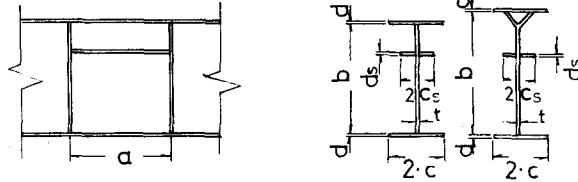
(1) 試験概要 全長6.30m、支点間距離6.0m、ウェブ厚4.5mmの大形試験はFig.1に示す如く中央部の試験パネル、支点と載荷点間の支持パネル、載荷点と試験パネルの側方パネルから成る。試験はウェブ細長比によって3グループに分類され(Table 1.)、B-3、B-6桁は細長比が凡そ200のもので、左縁フランジ断面形状は夫々T形、Y形であり、且つウェブ高の1/5に水平補剛材を有する。

Table 1. Dimensions of Test Girders

B-1, B**-4, B-****クスは細長****比が凡そ****250 のもの****z', 壓縮フ****ランジ形状****は前二者が****T形、後者****がY形である**

	Flange Comc. Tens.	Angle Stiff.	Longi. Stiff.	t	b	s = b/t	y _c w/b	ρ = Aw/ Af	c/d	c _s /c _s
B-1	200x13	200x13	—	—	0.450	1.125	250	0.75	1.95	7.69
B-2	200x13	200x13	—	—	0.459	1.349	294	0.75	2.38	7.69
B-3	200x13	200x13	—	60x5	0.472	901	191	0.75	1.56	7.69
B-4	200x13	200x13	—	65x5	0.456	1.126	247	0.75	1.95	7.69
B-5	200x13	200x13	—	70x5	0.458	1.251	295	0.75	2.38	7.69
S-6	200x13	200x13	50x50x6	60x5	0.465	902	194	0.75	1.56	6.00
B-7	250x10	250x10	50x50x6	65x5	0.471	1.123	249	0.75	1.98	6.00
B-8	200x10	200x10	50x50x6	70x5	0.458	1.351	295	0.75	2.41	6.00

Unit (mm)



リ、又B-4、B-7桁では水平補剛材が設けられてない。B-2、B-5、B-8桁は細長比が凡そ300のもので、左縁フランジ形状と水平補剛材の有無は、細長比250の場合と同じく対応する。フランジ寸法は塑性局部座屈を生じないよう規定され、水平補剛材剛度は最小剛度の4~5倍とし、左縁フランジと垂直補剛材、水平補剛材と垂直補剛材は溶接によって連結し、又桁製作時の溶接によるウェブ初期タクミの大きさをもく（ウェブ厚以上のもの）に対してもB-3、B-6桁を除きフランジ、水平・垂直補剛材の溶接箇所に線状加熱を行ひ必ず取り外しを行つてある。補剛材とL210はフランジプレートアングルに耐候性SM58、ウェブには耐候性SM50、補剛材はSS41を用ひ、引張試験の結果、フランジアングル材の降伏点は極厚13mm、10mmに対する2.2倍々5220kg/cm²、5150kg/cm²、フランジアングル材の降伏点は5265kg/cm²、ウェブ材の降伏点は5080kg/cm²である。

(2) 試験装置と測定 試験はFig.1のように配置し、載荷フレームに単純支持の支点をとり、両支点から2mの位置に200トン載荷用ジャッキにより下方から載荷し、載荷点間に純曲げを与えるようにし、荷重の照査には200トントロードセルを用ひてある。桁の横倒れ防止の爲には、上下フランジに各70mmのペイプをとりつけ、ペイプの他端は横倒れ防止用のトラスに連結し、連結点はピン構

造としてフランジの垂直回転変位を妨げないようとしてある。ウェブの初期タクミタ試験中の横タクミ測定には両載荷点の補剛材間に $50 \times 50\text{mm}$ の角形鋼管を2本水平方向に固定し(Fig. 2), それをレールとしてダイヤルゲージをとりつけたアングルを移動し, マグネットスタンドで固定し, B-1, 3, 4, 6桁では7行5列, B-2, 5, 8桁では8行5列の卓で測定を行った。フランジ, ウエブ, 水平・垂直補剛材のひずみ測定には電気抵抗線全計を用い, 桁のタクミ, フランジの回転と水平変位の測定にはダイヤルゲージを用いた。

2. 試験の結果と考察

(1) 桁の挙動 著者以前に行なった, 同じ鋼材からなるプレートガーダの崩壊に比較して, 本実験のハイブリット性質をもつ試験桁では, 総荷重近くになると桁の崩壊変形が急激に進行するところが分る。このことは荷重の増加について最初ウエブの上縁が降伏するが, 左縫フランジは弾性範囲内にあって枠組としての作用を果してくる。つづいてフランジが降伏はじめると, フランジによって拘束されたウエブの塑性域のひずみが急速に流れはじめることと, フランジに用いたS358の延性の小ささによることが原因であると考えられる。

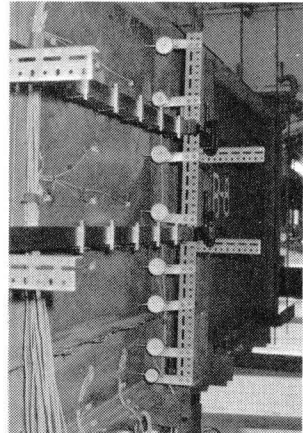


Fig. 2.

Table 2. Summary of Test Results

Test Beam	Failure Moment $M_{f,0}$ (t-m)	Mode of Comp. Flange Failure
B-1	175	Torsional Buckling of Comp. Flange
B-2	210	Vertical Buckling at 92.5 cm from Loading Point
B-3	175	Torsional Buckling at 50 cm from Loading Point
B-4	210	Lateral Buckling and Local Buckling at 125 cm from Loading Point
B-5	265	Lateral Torsional Buckling and Local Buckling at 85 cm from Loading Point
B-6	185	Lateral Buckling and Local Buckling at 84 cm from Loading Point
B-7	230	Lateral Buckling and Local Buckling at 91 cm from Loading Point
B-8	280	Lateral Buckling and Local Buckling at 82 cm from Loading Point

さることとが原因であると考えられる。

(2) 桁の崩壊様式と強度 崩壊荷重はウエブの弾性屈屈荷重(P_{cr}), 左縫フランジ降伏荷重(P_f), 全断面塑性崩壊荷重(P_p)と比較すると, 全て P_f よりはるかに大きく, 又B-1桁を除く $2P_f$ よりも大であり, B-3, 7桁では P_p よりも大きいという結果を得た。ウエブの変形によってウエブが負担できなくなる, 下応力が左縫フランジへ再配分されることから, プレートガーダーの崩壊は左縫フランジの崩壊によって支配されること, 又実用的にはフランジ降伏をもって耐荷力を考えること等が分る。次に左縫フランジの崩壊様式と崩壊モーメントを示すとTable 2 の如くである。フランジの垂直座屈を生ずるウエブ細長比の限界をBuskerの式で計算(残留応力は $0.35\sigma_y$ と仮定)した結果, 又Topracの式による垂直座屈応力の計算値を水平座屈, ぬじれ座屈応力値と比較して, 垂直座屈は生じないことが理論的に判断できるが, B-2桁では左縫フランジ断面降伏の後に垂直座屈が生じてゐる。この理由はB-2桁が水平補剛材を有しない爲と, ウエブの横タクミの増加が大きくウエブの垂直方向の剛度が減少した爲と思う。水平座屈も生じたB-4, 5, 6, 7, 8桁の実験値は σ/σ_y を表すCooperの式の計算値とよく一致している。ぬじれ座屈を生じたB-1, B-3桁の実験値はHaaijer & Thürlimannの式の計算値をよく説明している。左縫フランジの形状が座屈に及ぼす影響については, 左縫フランジ面積は全桁すべて 260cm^2 であるが, 形状をT形からY形にすることにより, 垂直座屈抵抗は約15倍,

ねじれ抵抗は約4倍増加するが、水平方向の剛度は0.86倍に減少する。事実、A形フランジのB-6, 7, 8桁は水平座屈によって崩壊している。又A形フランジの桁はT形のものに比べ崩壊荷重が大きくなっている。

(3) 圧縮フランジのひずみ分布

フランジの応力分布は終局荷重の40~60%迄は一様であるが、その後は全般的に水平方向の曲げをうけて横たわるようになる。Fig.3はフランジ全断面が降伏してから崩壊したB-3桁と、元々対比されるB-6桁の圧縮フランジのひずみ分布を示したものである。

(4) 断面の曲げひずみ分布

水平補剛材のない桁では圧縮側ウェブのタクミが載荷の初期から増大し、従って圧縮フランジに応力の再配分が行なわれ、中立軸は引張側に大きく移動する。

水平補剛材を設けた桁では圧縮側ウェブのタクミが拘束されて、細長比200のB-3, B-6桁では応力の再配分は殆どみられず、終局荷重でも全断面が有効に働き、中立軸の引張側への移動を極めて小さく。しかし細長比250, 300の桁では圧縮側サブペネルのタクミが局部的に増大しウェブの圧縮応力負担能力の減少の爲め、圧縮フランジと水平補剛材に応力が再配分されることが分かる。Fig.4.17その一例である。

(5) ウェブの横タクミ

初期タクミの最大値は細長比200, 250の桁で0.3~0.7t, 300の桁で1.3t(B-2桁)~1.6t(B-8桁)であるが、たが速度の大きな減少はなかった。載荷にともなうタクミは水平補剛材のない桁では、荷重が増加するにつれて圧縮側のタクミが急速に増大して、終局荷重近くで3~4倍に達している。水平補剛材のある桁では、タクミの増加率は小さく、終局荷重付近で急に増加する。その最大値は細長比200で0.5~1t, 250, 300で1~2t程度である。タクミの形状は初期タクミの増大した形であるが、水平補剛材のない桁では2重曲率になつて

いる初期タクミが最終的に1次一

Fig. 1. Test Set-up

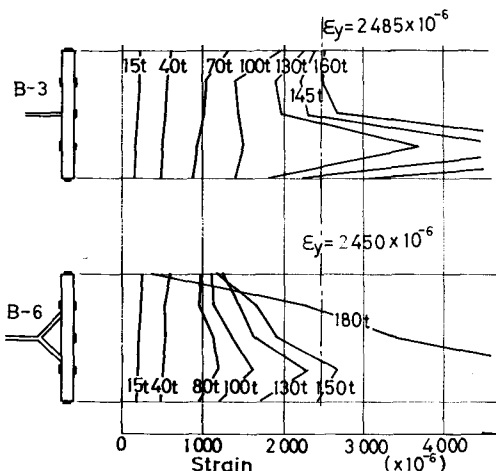
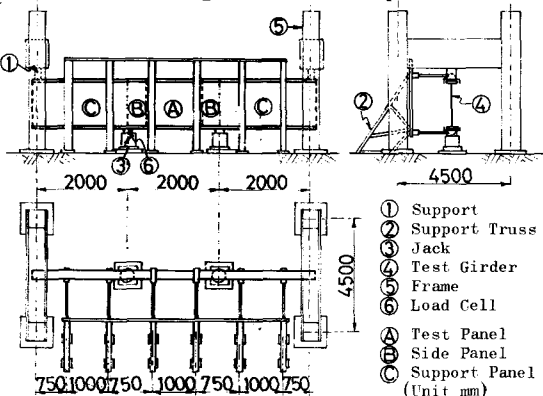


Fig. 3. Strain Distribution on Compression Flange

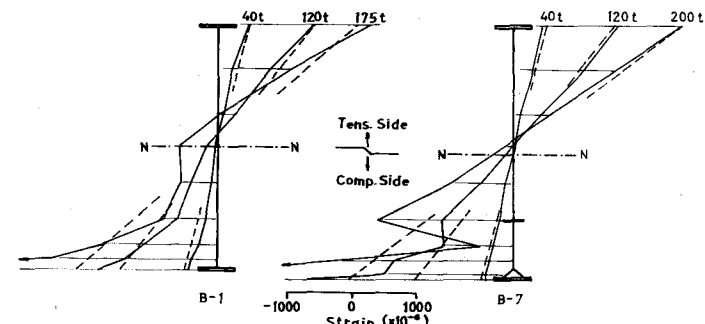


Fig. 4. Bending Strain Distribution

の曲率に移行してしまった。Fig. 5 は代表的な一例を示してある。

(6) 橋脚材のひずみ

著者が前に発表した大形プレートガーダーの実験では、水平と垂直補剛材の筋をきいていた時に、水平補剛材がウエブのタクミにつれて回転し、補剛材自身にはひずみの増加が殆ど認められなかつた。しかし本実験では水平補剛材の密接連結の筋には水平補剛材はサブパネルの構組として働き、荷重と共に圧縮ひずみが増加し、終局荷重付近で材料の降伏ひずみを示してゐる。

スフランジと類似のモードで屈展してしまった。垂直補剛材のひずみは荷重と共に僅かしか増加せず、各筋とも最終で 500×10^{-6} 程度である。

(7) ウエブの有効高 ウエブは初期タクミの爲に荷重の増加と共に非線型分布を生じる。水平補剛材のない桁に対する終局荷重におけるウエブの有効高とつゝ Basler は 30 倍を示してあるが、今回の実験では B-1 術で 60 倍、B-2 術で 47 倍を得た。水平補剛材のある場合、B-3, B-6 術では全高が有効であるが、細長比の増すにつれて有効高さが減少し、水平補剛材近傍のウエブが有効に働き、圧縮スフランジに近いサブパネルに大きな欠損部を生ずる。ウエブの有効高を b_e/b を表わすとウエブのひずみ分布から計算して B-1, 2 術 : $b_e/b = -0.00282/t + 0.104$, B-4, 5 術 : $b_e/b = -0.00110/t + 0.532$, B-7, 8 術 : $b_e/b = -0.000764/t + 0.472$ を求めることはできること。

(8) 終局強度 桁の崩壊荷重は圧縮スフランジの座屈モードに関するパラメータ、即ちスフランジ固定点間距離と弱軸回りの回転半径の比、パネル寸法比、スフランジの細長比、ウエブと圧縮スフランジの面積比、ウエブの細長比、水平補剛材の有無等によつて支配される。今終局モーメントの実験値を圧縮スフランジ降伏モーメントで除したものと、ウエブ細長比によつて表わして置く

が Fig. 6 である。水平補剛材を配置するににより、無いものに比べて細長比 250 で 1.2 倍、300 で 1.3 倍程度増加してしまつて、水平補剛材のない場合の Basler 提案式 $M_u = C_y [1 - 0.0005 \frac{A_w}{A_f} (\beta - \beta_0)]$, $\beta_0 = 5.7/\sqrt{E/G_y}$ を適用すると、本試験の如くハイブリッド桁につけて良好な一致をみるとことが出来る。

又水平補剛材を有する術。終局モーメントはスフランジ降伏モーメントの理論値より大きく、更にスフランジ形状の Y 形の術は T 形のものより大きさを示してある。上限値を示してある B-6, 7, 8 術の実験値は $M_u^{ex}/M_y^{th} = -0.000796/t + 1.322$ といふ実験式を表わすことができる。

あとがき 本研究は文部省科学研究所助金によつて行なわれたものである。

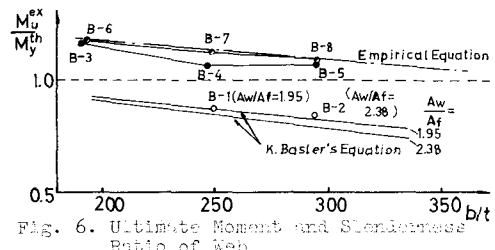
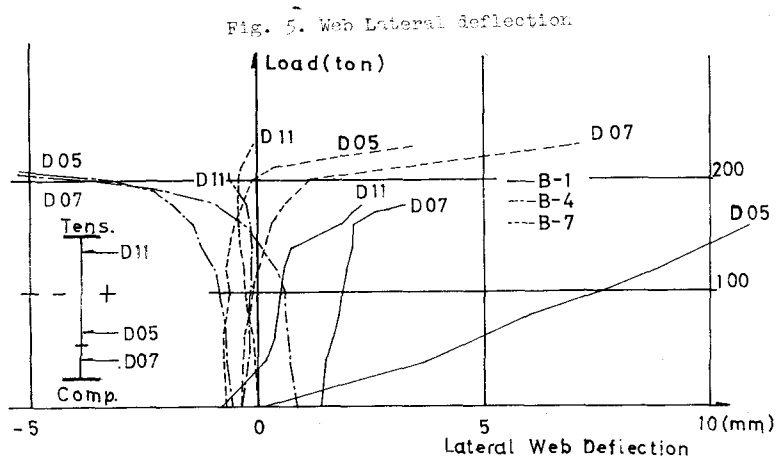


Fig. 6. Ultimate Moment and Slenderness Ratio of Web